

**Proceeding Series of the Brazilian Society of Computational and Applied Mathematics****Projeto de Controladores Robustos  $H_\infty$  Usando LMIs para Controle de um Motor de Indução Trifásico com Incertezas**Tiago Veronese Ortunho<sup>1</sup>

Instituto Federal de São Paulo, IFSP, Presidente Epitácio, SP

Jean Marcos de Souza Ribeiro<sup>2</sup>

Departamento de Engenharia Elétrica, Unesp, Ilha Solteira, SP

Marcelo Carvalho Minhoto Teixeira<sup>3</sup>

Departamento de Engenharia Elétrica, Unesp, Ilha Solteira, SP

José Paulo Fernandes Garcia<sup>4</sup>

Departamento de Engenharia Elétrica, Unesp, Ilha Solteira, SP

**Resumo.** O trabalho apresenta uma implementação da teoria de controladores robustos  $\mathcal{H}_\infty$ , juntamente com a restrição de  $\mathcal{D}$ -Estabilidade e realimentação da integral do erro de medida usando Inequações Matriciais Lineares (LMI), considerando incertezas e objetivando minimizar distúrbio no acionamento de motor de indução trifásico (MIT). A teoria foi implementada no projeto de controle de velocidade do MIT, sendo considerados três casos distintos no controle de velocidade: i) sem incerteza, ii) incerteza na constante de tempo do rotor e, por fim, iii) incerteza na constante de tempo do rotor e do estator. Foram obtidos ótimos resultados com aplicação de carga nominal, em degrau, na ponta do eixo do MIT.

**Palavras-chave.** Controlador robusto  $\mathcal{H}_\infty$ ,  $\mathcal{D}$ -Estabilidade, LMI, MIT

**1 Introdução**

Em 1972, Blaschke apresentou o princípio de controle por orientação de campo do motor de indução trifásico (MIT), porém, a dificuldade era implementá-las uma vez que a técnica de orientação de campo previa cálculos complexos, como conversão de sistemas de coordenadas móveis e manuseio das equações do modelo matemático, além de depender dos parâmetros do motor que variam de acordo com a operação. Foi proposto o desacoplamento das correntes de torque eletromagnético e de campo, possibilitando controlá-los de forma semelhante ao motor de corrente contínua. A técnica baseia-se na representação das equações eletromagnéticas da máquina em um

---

<sup>1</sup> tiago.veronese@ifsp.edu.br

<sup>2</sup> jean@dee.feis.unesp.br

<sup>3</sup> marcelo@dee.feis.unesp.br

<sup>4</sup> jpaulo@dee.feis.unesp.br

sistema de coordenada direto e quadratura (dq), com eixo direto alinhado com o vetor de fluxo. O controle é efetuado mediante variações da corrente  $i_d$ , responsável pelo campo, e corrente  $i_q$ , responsável pelo conjugado, análogo ao motor de corrente contínua [1].

Porém, é necessário que o controlador seja insensível às perturbações e incertezas, fornecendo respostas adequadas. Assim sendo, neste trabalho é proposta a utilização de técnica de controle robusto juntamente com Desigualdades Matriciais Lineares (LMIs), possibilitando o tratamento de incertezas e inclusão de restrições de desempenho [2].

## 2 Modelo de estado do motor de indução

A partir das equações dinâmicas do motor de indução com rotor em gaiola de esquilo e considerando o sistema na referência síncrona girante ( $w_s$ ) obtêm-se (1) a (11).

$$\frac{d}{dt} i_{ds}^e = - \left[ \frac{R_s}{\sigma L_s} + \frac{R_r(1-\sigma)}{\sigma L_r} \right] \cdot i_{ds}^e + w_s \cdot i_{qs}^e + \frac{L_m \cdot R_r}{\sigma L_s \cdot L_r^2} \cdot \Phi_{dR}^e + \frac{w_R \cdot L_m}{\sigma L_s \cdot L_r} \cdot \Phi_{qR}^e + \frac{1}{\sigma L_s} \cdot V_{ds}^e \quad (1)$$

$$\frac{d}{dt} i_{qs}^e = - \left[ \frac{R_s}{\sigma L_s} + \frac{R_r(1-\sigma)}{\sigma L_r} \right] \cdot i_{qs}^e - w_s \cdot i_{ds}^e + \frac{L_m \cdot R_r}{\sigma L_s \cdot L_r^2} \cdot \Phi_{qR}^e - \frac{w_R \cdot L_m}{\sigma L_s \cdot L_r} \cdot \Phi_{dR}^e + \frac{1}{\sigma L_s} \cdot V_{qs}^e \quad (2)$$

$$\frac{d}{dt} \Phi_{dR}^e = \frac{L_m \cdot R_r}{L_r} \cdot i_{ds}^e - \frac{R_r}{L_r} \cdot \Phi_{dR}^e + (w_s - w_R) \cdot \Phi_{qR}^e \quad (3)$$

$$\frac{d}{dt} \Phi_{qR}^e = \frac{L_m \cdot R_r}{L_r} \cdot i_{qs}^e - \frac{R_r}{L_r} \cdot \Phi_{qR}^e - (w_s - w_R) \cdot \Phi_{dR}^e \quad (4)$$

$$T_e = \frac{3 \cdot p}{2} \cdot \frac{L_m}{L_r} \cdot (i_{qs}^e \cdot \Phi_{dR}^e - i_{ds}^e \cdot \Phi_{qR}^e) \quad (5)$$

$$T_e - T_L = J \cdot \frac{d}{dt} w_R + B \cdot w_R \quad (6)$$

sendo  $i_{ds}^e$  e  $i_{qs}^e$  componentes de eixo direto e em quadratura da corrente do estator;  $R_s, R_r$ , as resistências do estator e rotor;  $L_s, L_r$  e  $L_m$ , as indutâncias do estator, rotor e mútua;  $\Phi_{dR}^e$  e  $\Phi_{qR}^e$  as componentes de eixo direto e quadratura do fluxo do rotor;  $T_e$  e  $T_L$  os torques eletromagnético e de carga;  $w_R$  a velocidade do rotor;  $p, J, B$  e  $\sigma$ , o nº de pares de polos, momento de inércia, coeficiente de atrito viscoso e coeficiente de dispersão do motor.

A velocidade de escorregamento é dada por (7) e o fluxo de componente direto do rotor, representado por (8). O torque eletromagnético é apresentado em (9) e a velocidade angular mecânica em (10). Após, define-se a corrente no eixo de quadratura dada em (11).

$$w_{esc} = w_s - w_R = \frac{L_m \cdot R_r}{L_r \cdot \Phi_{dR}^e} \cdot i_{qs}^e \quad (7)$$

$$\frac{d}{dt} \Phi_{dR}^e + \frac{R_r}{L_r} \cdot \Phi_{dR}^e = \frac{L_m \cdot R_r}{L_r} \cdot i_{ds}^e \quad (8)$$

$$T_e = \frac{3 \cdot p}{2} \cdot \frac{L_m^2}{L_r} \cdot i_{ds}^e \cdot i_{qs}^e = \frac{3 \cdot p}{2} \cdot \frac{L_m}{L_r} \cdot \Phi_{dR}^e \cdot i_{qs}^e = K_t \cdot i_{qs}^e \quad (9)$$

$$\frac{d}{dt} w_R = \frac{K_t}{J} \cdot i_{qs}^e - \frac{B}{J} \cdot w_R - \frac{1}{J} \cdot T_L \quad (10)$$

$$\frac{d}{dt} i_{qs}^e = - \frac{R_s}{\sigma L_s} \cdot i_{qs}^e - w_s \cdot i_{ds}^e - w_s \cdot \frac{L_m \cdot \Phi_{dR}^e}{\sigma L_s \cdot L_r} + \frac{1}{\sigma L_s} \cdot V_{qs}^e \quad (11)$$

Das expressões (1) a (11) é possível escrever o modelo conforme (12) a (14), sendo  $\alpha$  as incertezas da planta. O torque de carga será considerado um distúrbio do sistema.

$$\dot{x}(t) = A(\alpha) \cdot x(t) + B_u(\alpha) \cdot u(t) + B_w(\alpha) \cdot T_L(t); \quad y(t) = C(\alpha) x(t); \quad A(\alpha) = \begin{bmatrix} a_{11} & a_{12} & a_{13} & a_{14} \\ a_{21} & a_{22} & a_{23} & a_{24} \\ a_{31} & a_{32} & a_{33} & a_{34} \\ a_{41} & a_{42} & a_{43} & a_{44} \end{bmatrix} \quad (12)$$

$$a_{11} = -\left[\frac{R_s}{\sigma L_s} + \frac{R_r(1-\sigma)}{\sigma L_r}\right]; a_{12} = w_s; a_{13} = \frac{L_m R_r}{\sigma L_s L_r^2}; a_{14} = 0; a_{21} = -w_s; a_{22} = -\frac{R_s}{\sigma L_s}; a_{23} = -\frac{w_s L_m}{\sigma L_s L_r}; a_{24} = 0$$

$$a_{31} = \frac{L_m R_r}{L_r}; a_{32} = 0; a_{33} = -\frac{R_r}{L_r}; a_{34} = 0; a_{41} = 0; a_{42} = \frac{K_t}{J}; a_{43} = 0; a_{44} = -\frac{B}{J}$$

$$B_u(\alpha) = \begin{bmatrix} \frac{1}{\sigma L_s} & 0 \\ 0 & \frac{1}{\sigma L_s} \\ 0 & 0 \\ 0 & 0 \end{bmatrix}; B_w(\alpha) = \begin{bmatrix} 0 \\ 0 \\ 0 \\ -\frac{1}{J} \end{bmatrix}; C(\alpha) = \begin{bmatrix} 1 & 0 & 0 & 0 \\ 0 & 1 & 0 & 0 \end{bmatrix}; X(t) = \begin{bmatrix} i_{ds}^e \\ i_{qs}^e \\ \phi_{dR}^e \\ w_R \end{bmatrix}; u(t) = \begin{bmatrix} V_{ds}^e \\ V_{qs}^e \end{bmatrix}$$

Os dados do MIT estão representados na Tabela 1, os quais foram utilizados no trabalho [4]. O MIT possui potência de 0,25 HP, 4 polos, 1725 RPM, 380/220V, 60Hz.

Tabela 1: Dados do MIT.

Dados do motor	Valores	Dados do motor	Valores
Resistência do Estator ( $R_s$ )	29,5012 $\Omega$	Indutância do Estator ( $L_s$ )	0,0534 H
Resistência do Rotor ( $R_r$ )	17,8384 $\Omega$	Indutância do Rotor ( $L_r$ )	0,0637 H
Momento de Inércia ( $J$ )	0,0005 Kg.m <sup>2</sup>	Indutância Mútua ( $L_m$ )	1,0417 H
Coefficiente de Atrito Viscoso ( $B$ )	0,003 m/rad.s	Fluxo Nominal do Rotor	0,93 Wb

### 3 Inequações Matriciais Lineares

Uma LMI é uma desigualdade matricial do tipo  $F(g) > 0$ , na qual  $F(g): \mathbb{R}^m \rightarrow \mathbb{R}^{q \times q}$  é simétrica e afim nas variáveis de busca que são representadas pelo vetor  $g$ . Assim ela pode ser genericamente representada na forma  $F(g) = F_0 + \sum_{i=1}^m g_i F_i > 0$ , no qual  $F_i = F_i' \in \mathbb{R}^{q \times q}$  são matrizes constantes e  $g \in \mathbb{R}^m$  é o vetor de variáveis, com elementos escalares, a ser determinado de forma a satisfazer a desigualdade  $A' . P + P . A < 0$ .

#### 3.1 Controlador robusto $\mathcal{H}_\infty$ usando LMIs

Considerando o sistema em variáveis de estado conforme (15) e  $u(t) = K . x(t)$ , obtém-se uma nova variável definida como  $A_N = A(\alpha) + B_u(\alpha) . K$ . Com o intuito de minimizar o custo garantido  $H_\infty$  entre o distúrbio  $w(t)$  e a saída  $y(t)$ , aplica-se (16), transformando este conjunto em LMI e, aplicando o complemento de Schur, obtém (17). Ao substituir a variável  $A_N$  é obtida a restrição (18) com controlador  $K = Z . W^{-1}$  [5].

$$\dot{x}(t) = A(\alpha) . x(t) + B_u(\alpha) . u(t) + B_w(\alpha) . T_L(t) \quad ; \quad y(t) = C(\alpha) . x(t) + D \tag{15}$$

$$\begin{bmatrix} A_N . W + W . A'_N + B_w . B'_w & W . C' + B . D' \\ C . W + D . B' & -\mu . I \end{bmatrix} < 0 ; W > 0 \tag{16}$$

$$\begin{bmatrix} A_N . W + W . A'_N & W . C' & B_w \\ C . W & -\mu . I & D \\ B'_w & D' & -I \end{bmatrix} < 0 ; W > 0 \tag{17}$$

$$\begin{bmatrix} A . W + B_u . Z + W . A' + Z' . B'_u & W . C' + Z' . D & B_w \\ C . W + D . Z & -\mu . I & D \\ B'_w & D' & -I \end{bmatrix} < 0 ; W > 0 \tag{18}$$

#### 3.2 Controlador robusto $\mathcal{H}_\infty$ com $\mathcal{D}$ -Estabilidade usando LMIs

O trabalho [6] restringe a região do controlador para uma de interesse,  $S(\alpha, r, \theta)$ , de números complexos  $(x + jy)$  que satisfazem as restrições em 3 regiões descritas em (19).

$$S(\alpha, r, \theta) = \{x < -\alpha < 0; |x + jy| < r; \tan(\theta) x < -|y| \} \tag{19}$$

Alocar autovalores na região  $S(\alpha, r, \theta)$ , permite efetuar projetos que restrinjam a

porcentagem de *overshoot*, tempo de subida e tempo de estabelecimento, através de LMIs [3,6]. As restrições para o dimensionamento do controlador são apresentadas em (20).

$$X > 0; A.X + X.A' + 2.\alpha.X < 0; \begin{pmatrix} -r.X & A.X \\ X.A' & -r.X \end{pmatrix} < 0; \begin{pmatrix} \sin \theta . (A.X + X.A') & \cos \theta . (A.X - X.A') \\ \cos \theta . (X.A' - A.X) & \sin \theta . (A.X + X.A') \end{pmatrix} < 0 \quad (20)$$

### 3.3 Controlador robusto $\mathcal{H}_\infty$ com $\mathcal{D}$ -Estabilidade e realimentação da integral do erro de saída usando LMIs

A integral é utilizada para que o sistema em regime permanente possua erro nulo para uma entrada degrau. Para o sistema em análise, as novas variáveis de estado ficam descritas pelas matrizes estendidas (21) a (23) com lei de controle  $u(t) = K.x(t) - K.\varepsilon(t)$  [3].

$$\frac{d}{dt} \hat{x}(t) = \hat{A}(\alpha).\hat{x}(t) + \hat{B}_u(\alpha).\hat{u}(t) + \hat{B}_w(\alpha).T_L(t) \quad ; \quad y(t) = \hat{C}(\alpha).\hat{x}(t) \quad (21)$$

$$\begin{bmatrix} \dot{\hat{x}}(t) \\ \dot{\varepsilon}(t) \end{bmatrix} = \begin{bmatrix} A(\alpha) & 0 \\ -C(\alpha) & 0 \end{bmatrix} \cdot \begin{bmatrix} x(t) \\ \varepsilon(t) \end{bmatrix} + \begin{bmatrix} B_u(\alpha) \\ I \end{bmatrix} \cdot [u(t) \quad ref(t)] + \begin{bmatrix} B_w(\alpha) \\ 0 \end{bmatrix} \cdot T_L(t) \quad ; \quad y = [C(\alpha) \quad 0] \cdot \begin{bmatrix} x(t) \\ \varepsilon(t) \end{bmatrix} \quad (22)$$

$$[\varepsilon(t)] = \begin{bmatrix} \dot{\varepsilon}_1(t) \\ \dot{\varepsilon}_2(t) \end{bmatrix} = \begin{bmatrix} \emptyset_{dR}^e - \emptyset_{dR}^o \\ W_R^* - W_R \end{bmatrix}; [\varepsilon(t)] = \begin{bmatrix} \int \varepsilon_1(t) \\ \int \varepsilon_2(t) \end{bmatrix} = \begin{bmatrix} \int (\emptyset_{dR}^e - \emptyset_{dR}^o) \\ \int (W_R^* - W_R) \end{bmatrix}; [ref(t)] = \begin{bmatrix} \emptyset_{dR}^e \\ W_R^* \end{bmatrix} \quad (23)$$

## 4 Resultados

Foi considerado 3 casos, todos com velocidade variando da mínima até a nominal: i) sem incerteza paramétrica, ii) incerteza na constante de tempo do rotor (5%), e iii) incerteza nas constantes de tempo do rotor (15%) e estator (10%). Assim, tem-se 2, 4 e 8 vértices do polítopo e, por convexidade, tem-se que se uma dada condição estiver satisfeita em todos os vértices, então ela também estará satisfeita para qualquer ponto pertencente ao polítopo. As Tabelas 2-4 apresentam as matrizes de controladores e as normas  $\mathcal{H}_\infty$  para cada caso.

Tabela 2: Valores dos Controladores Robustos  $\mathcal{H}_\infty$  Usando LMI.

Caso	Controladores				Normas
1	182908,984 -8506,537	1757,350 460780,604	-4540,484 3148,040	0,062 -0,013	0,005406
2	295251,796 -11423,352	6404,136 538621,743	-4551,659 3131,260	-0,004 -0,016	0,0001
3	531380,155 22143,820	-24118,964 202092,726	-3681,375 3160,050	-0,081 -0,030	0,00291

Tabela 3: Valores dos Controladores Robustos  $\mathcal{H}_\infty$  com  $\mathcal{D}$  - Estabilidade Usando LMI.

Caso	Controladores				Normas	Índices de Desempenho
1	121,014 -3,093	3,042 65,831	-4274,627 3163,893	12,753 * 10 <sup>-12</sup> 361,322 * 10 <sup>-9</sup>	268,899 * 10 <sup>-6</sup>	$\alpha = 1; r = 4000; \theta = 0,610$
2	136,087 -3,229	3,003 79,401	-4315,395 3121,294	-60,586 * 10 <sup>-12</sup> 280,264 * 10 <sup>-9</sup>	209,153 * 10 <sup>-6</sup>	$\alpha = 1; r = 4900; \theta = 0,61$
3	141,160 -2,934	3,003 84,899	-4373,243 3123,982	-5,589 * 10 <sup>-12</sup> 451,834 * 10 <sup>-9</sup>	209,987 * 10 <sup>-6</sup>	$\alpha = 1; r = 5800; \theta = 0,959$

Tabela 4: Valores dos Controladores Robustos  $\mathcal{H}_\infty$  com  $\mathcal{D}$  - Estabilidade e Realimentação da Integral do Erro de Saída.

Caso	Controladores						Normas	Índices de Desempenho
1	185,77 40,31	2,90 118,32	-3067,73 3963,12	53,15 * 10 <sup>-9</sup> 5,75 * 10 <sup>-6</sup>	-0,79 12,38	0,48 21,66	350,759 * 10 <sup>-6</sup>	$\alpha = 1; r = 7000; \theta = 1,483$
2	211,39 40,22	2,81 131,22	-2817,31 4014,03	-358,87 * 10 <sup>-9</sup> 0,001	-0,92 9,22	-0,28 16,48	5,651	$\alpha = 1; r = 7900; \theta = 1,134$
3	204,29 75,42	2,70 130,30	-3484,49 4577,49	-576,93 * 10 <sup>-9</sup> -65,28 * 10 <sup>-6</sup>	-0,58 6,49	0,26 13,60	1,161 * 10 <sup>-3</sup>	$\alpha = 1; r = 8000; \theta = 0,959$

Considerando o torque de carga como um degrau de valor nominal, no instante (t = 0s),

foram plotados no Matlab a resposta no tempo para os casos em análise, tendo como objetivo visualizar o comportamento do sistema para os controladores desenvolvidos.

É importante esclarecer que os resultados a seguir apenas mostram a tentativa de rejeição do distúrbio (aplicação de carga) nos sinais de saída (correntes  $i_d$  e  $i_q$ ), sendo eles o objetivo de controle, que possuem referência igual a zero; isso não faz sentido para o controle do MIT, contudo é importante para a investigação da robustez do controlador. Em outro momento serão estimados o fluxo e velocidade do rotor, e estes estarão sujeitos à aplicação das técnicas de controle propostas. Por falta de espaço para apresentar todos resultados, as Figuras 1-9 descrevem apenas os resultados para um vértice, para cada caso e controlador, escolhido aquele que resultou em maior amplitude de sinal de saída (correntes  $i_d$  e  $i_q$ ).

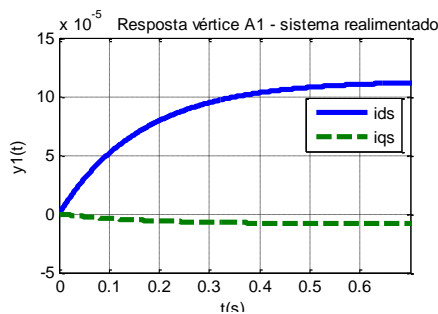


Figura 1: 1º Caso - Resposta no tempo do controlador robusto  $\mathcal{H}_\infty$ .

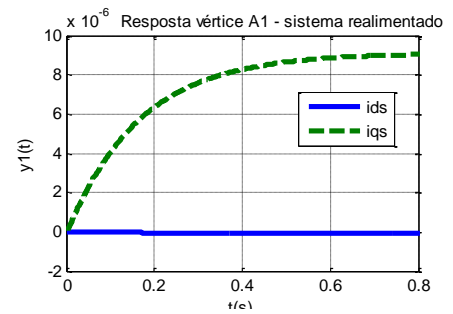


Figura 2: 1º Caso - Resposta no tempo do controlador robusto  $\mathcal{H}_\infty$  com  $\mathcal{D}$ -Estabilidade.

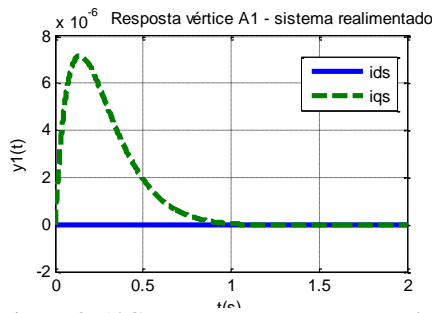


Figura 3: 1º Caso - Resposta no tempo do controlador robusto  $\mathcal{H}_\infty$  com  $\mathcal{D}$ -Estabilidade e integral do erro.

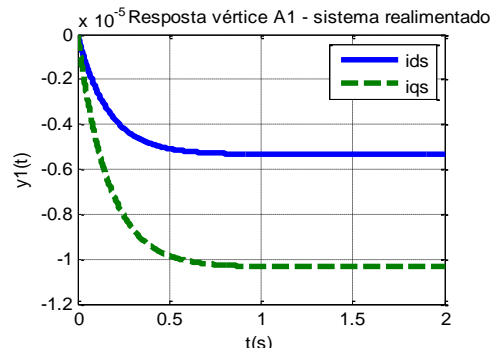


Figura 4: 2º Caso - Resposta no tempo do controlador robusto  $\mathcal{H}_\infty$ .

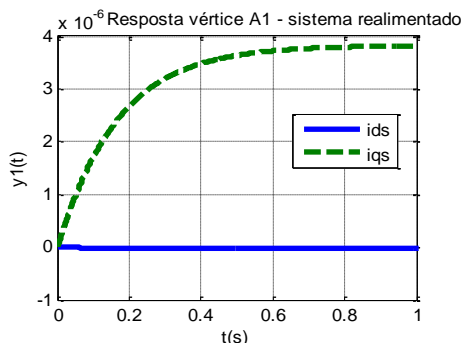


Figura 5: 2º Caso - Resposta para controlador  $\mathcal{H}_\infty$  com  $\mathcal{D}$ -Estabilidade.

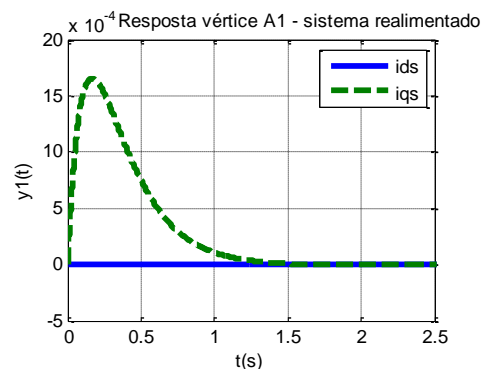


Figura 6: 2º Caso - Resposta para controlador  $\mathcal{H}_\infty$  com  $\mathcal{D}$ -Estabilidade e integral do erro.

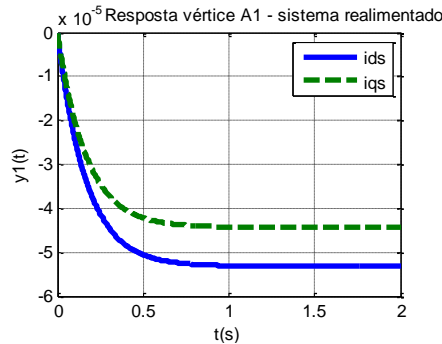


Figura 7: 3º Caso - Resposta no tempo do controlador robusto  $\mathcal{H}_\infty$ .

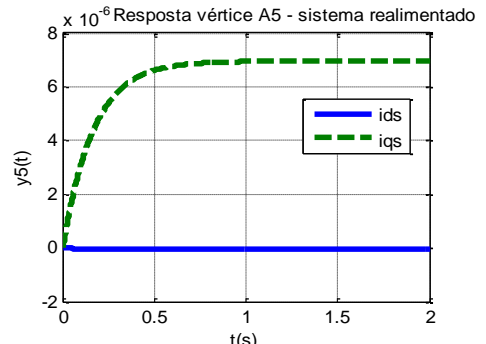


Figura 8: 3º Caso - Resposta do controlador  $\mathcal{H}_\infty$  com  $\mathcal{D}$  - Estabilidade

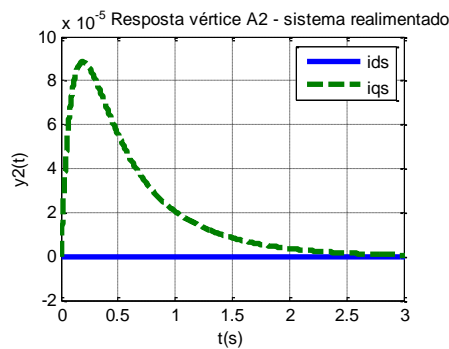


Figura 9: 3º Caso - Resposta do controlador  $\mathcal{H}_\infty$  com  $\mathcal{D}$ -Estabilidade e integral do erro.

No caso 1, o controlador  $\mathcal{H}_\infty$  (Figura 1) estabilizou em 0,7 seg sem oscilação, com  $\mathcal{D}$ -estabilidade (Figura 2) a amplitude reduziu e entrou em regime praticamente no mesmo tempo e, para o terceiro controlador (Figura 3), a saída estabiliza em 1,2 seg com pico de  $8 \cdot 10^{-6}$ .

No segundo caso, os dois primeiros controladores entraram em regime em aproximadamente 1 seg, porém, o controlador ótimo (Figura 4) gerou uma resposta apresentando uma amplitude máxima na corrente do eixo de quadratura de aproximadamente  $-1 \cdot 10^{-5}$ . No controlador sub-ótimo (Figura 5) a saída teve pico máximo de  $4 \cdot 10^{-6}$ . A realimentação da integral (Figura 6) proporcionou uma resposta que estabilizou em 1,5 seg com magnitude máxima de  $17 \cdot 10^{-4}$ .

Por fim, no último caso o controlador ótimo (Figura 7) proporcionou resposta com máximo pico em  $-5 \cdot 10^{-5}$  na corrente de eixo direto, entrando em regime em aproximadamente 1 seg. Por outro lado, o controlador sub-ótimo (Figura 8) gerou uma resposta com a máxima corrente sendo a do eixo em quadratura com magnitude máxima de  $6 \cdot 10^{-6}$ , com tempo de estabelecimento aproximadamente igual ao ótimo. O controlador com realimentação da integral (Figura 9) levou a resposta para a estabilidade no tempo máximo de 2,5 seg e com pico de aproximadamente  $10 \cdot 10^{-5}$ .

Os controladores geraram respostas rápidas para o sistema, ou seja, mesmo no pior caso, com muita incerteza, o tempo de estabelecimento não atingiu 3 seg, fato este muito importante para o controle de velocidade do motor de indução. Estes resultados mostram alta robustez deste controlador quando projetado utilizando a ferramenta LMI.

## 5 Conclusão

O trabalho propiciou a análise e investigação da teoria de controle robusto  $\mathcal{H}_\infty$ , englobando o desempenho pela restrição de  $\mathcal{D}$ -Estabilidade, também, o controle robusto  $\mathcal{H}_\infty$  com restrição de  $\mathcal{D}$ -Estabilidade e realimentação da integral do erro de saída, todos aplicados ao acionamento de um motor de indução trifásico. Para o projeto do controlador de velocidade foi utilizado a ferramenta LMI, considerando três casos: i) sem incertezas, ii) com incerteza na constante de tempo do rotor e, por fim, iii) incerteza nas constantes de tempo do rotor e do estator concomitantemente. Os autores estão muito otimista com os resultados obtidos com a técnica de controle robusto  $\mathcal{H}_\infty$  usando o critério de  $\mathcal{D}$ -Estabilidade e realimentação do sinal da integral do erro, pois neste caso houve uma boa rejeição ao distúrbio e estabilização do sinal de interesse em um valor com erro igual a zero.

Entende-se que este trabalho possibilitou uma ampliação da aplicação da teoria de controladores robustos  $\mathcal{H}_\infty$  em MITs, obtendo ótimos resultados pela análise da resposta no tempo para uma entrada degrau de carga nominal na ponta do eixo do motor.

## Agradecimentos

Os autores agradecem o DEE da FE-IS/UNESP e ao IFSP/PEP por proporcionar excelentes condições de desenvolver pesquisas.

## Referências

- [1] B. K. Bose, Modern power electronics and ac drives, Upper Saddle River, Prentice-Hall, vol. 1, (2001).
- [2] S. Boyd, L. E. Ghaoui, E. Feron and V. Balakrishnan, Linear matrix inequalities in systems and control theory, SIAM studies in applied mathematics, (1994).
- [3] M. V. S. Costa, V. P. Pinto, J. C. T. Campos e J. A. Nascimento, Controle por  $\mathcal{D}$ -Alocação robusta via LMI aplicado em sistemas de geração eólica, Anais do Simpósio Brasileiro de Sistemas Elétricos, (2012).
- [4] A. F. A. Furtunato, A. O. Salazar e O. S. Araújo, Controlador de velocidade usando modos deslizantes suaves para um motor de indução trifásico, CONTROLE & AUTOMAÇÃO, vol. 12, 148-155, (2001).
- [5] P. Gahinet, Explicit controller formulas for LMI-based  $H_\infty$  synthesis, AUTOMÁTICA, vol. 32, 1007-1014, (1996).
- [6] R. M. Manesco, J. H. P. Silva, M. R. Moreira, L. F. S. Buzachero, E. R. P. D. Silva, E. Assunção, M. C. M. Teixeira e R.K.H. Galvão, Estabilidade robusta  $H_\infty$  de sistemas lineares: uma implementação em um helicóptero 3DOF de bancada, Anais do Congresso Brasileiro de Automática, (2012).